

# 1 性能评估

我们知道字符串匹配有精准匹配、部分匹配、前缀匹配、后缀匹配。当然，我并没有了解过字符匹配的性能评价。这里我设计了几个匹配效果的算法。

首先，对于匹配算法的性能我们希望它是鲁棒的、准确的、时间复杂度和空间度好的、稳定的，同时我们应该要测试一下这些算法的灵敏度。因此，我们应该要事先准备一个相关的评价模板，以及测试案例。简而言之，匹配效果的描述应该由这两项构成：标准（鲁棒、准确率、泛化能力），性能（时间复杂度、空间复杂度、可并行化设计、稳定、灵敏）。

- 评价模板
- 测试案例

FME 的目的是作为一个模板来捕获用于基于分析的高级信息；效率变量、代价和收益，对于特征描述子而言，可用简单的属于来衡量效率，比如将计算代价和所占的内存与所获得的效益（包括精度、判别性、鲁棒性和不变性）进行比较。方法消耗了多少时间、空间和资源呢？效率度量包括以下内容：

- 代价：计算量、内存、时间和资源
- 收益：获得的精度、鲁棒性、和不变属性；
- 效率：相对于成本的收益

## 1.1 鲁棒性评估

这里首先给出一个标准表格，

表 1: 一般的鲁棒性标准以及它们的属性

鲁棒性	属性
光照	分均匀光照、亮度、对比度、虚光
颜色	色彩空间精度、颜色通道、颜色位深度
不完全性	混乱、遮挡、离群值、邻近、噪声、运动模糊、抖动、颤动
分辨率、精度	定位精度或位置、形状和厚度畸变、焦平面或深度、像素深度分辨率
几何失真	缩放、旋转、几何扭曲、反射、径向畸变、极向畸变
判别性、唯一性	质量

## 1.2 精确匹配错误率

不考虑形变的精确匹配，及其误差度量：基于像素的误差计算；考虑形变的精确匹配，形变函数后验概率。（误差不累计，以错误匹配/特征点提取总数计算，正确匹配认为落在精确点的  $n$  邻域）

$$Matching_{error} = \frac{Keypoint_{error}}{Keypoint_{all}} \quad (1)$$

$$Keypoint_{error} \in (Keypoint_{right} \pm \epsilon) deformation(Keypoint_{error}) \in (Keypoint_{right} \pm \epsilon) \quad (2)$$

## 2 几何最优传输映射

### 2.1 Monge-Ampère 方程

**问题 2.1** (Brenier). 给定  $(\Omega, \mu)$  和  $(\Sigma, \nu)$  以及成本函数  $c(x, y) = \frac{1}{2} |x - y|^2$ , 最优传输映射  $T : \Omega \rightarrow \Sigma$  是满足 Monge-Ampère 方程的 Brenier 势  $u : \Omega \rightarrow \mathbb{R}$  的梯度映射。

$$\boxed{\det \left( \frac{\partial^2 u(x)}{\partial x_i \partial x_j} \right) = \frac{f(x)}{g \circ \nabla u(x)}} \quad (3)$$

**问题 2.2** (Semi-discrete OT). 给定一个在  $\mathbb{R}^d$  上的紧凸域  $\Omega$ , 和  $p_1, p_2, \dots, p_k$  以及质量  $w_1, w_2, \dots, w_k > 0$ , 找到一个最优传输映射  $T : \Omega \rightarrow \{p_1, \dots, p_k\}$ , 则  $\text{vol}(T^{-1}(p_i)) = w_i$ , 使运输成本最小化

$$C(T) := \frac{1}{2} \int_{\Omega} |x - T(x)|^2 dx \quad (4)$$

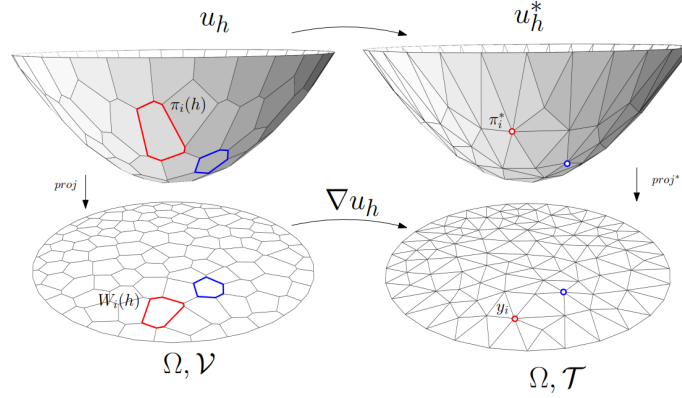


图 1: Brenier 图

根据 Brenier 定理, 将有一个分段线性凸函数  $u : \Omega \rightarrow \mathbb{R}$ , 梯度映射给出了最佳运输映射。

**定理 2.1** (Alexandrov 1950). 给定在  $\mathbb{R}^n$  上的紧凸域  $\Omega$ , 在  $\mathbb{R}^n$  上互不相同的  $p_1, \dots, p_k$ , 当  $A_1, \dots, A_k > 0$ , 使得  $\sum A_i = \text{Vol}(\Omega)$ , 则存在 PL 凸函数

$$f(x) := \max \{ \langle x, p_i \rangle + h_i \mid i = 1, \dots, k \}, \quad (5)$$

唯一的传输使得

$$\text{Vol}(W_i) = \text{Vol}(\{x \mid \nabla f(x) = p_i\}) = A_i. \quad (6)$$

Alexandrov' s 证明是拓扑的, 而不是变分。多年来人们一直开放寻找构造性的证明。

### 2.2 变分证明

**定理 2.2** (Gu-Luo-Sun-Yau 2013).  $\Omega$  是在  $\mathbb{R}^2$  上的紧凸域,  $y_1, \dots, y_k$  在  $\mathbb{R}^2$  上互不相同,  $\mu$  是在  $\Omega$  上的正连续。任意  $v_1, \dots, v_k > 0$  以及  $\sum v_i = \mu(\Omega)$ , 存在 1 个向量  $(h_1, \dots, h_k)$  使得,

$$u(x) = \max \{ \langle x, \mathbf{p}_i \rangle + h_i \}$$

满足  $\mu(W_i \cap \Omega) = v_i$ , 其中  $W_i = \{x \mid \nabla f(x) = \mathbf{p}_i\}$ 。此外,  $\mathbf{h}$  是凹函数的最大点

$$E(\mathbf{h}) = \sum_{i=1}^k v_i h_i - \int_0^{\mathbf{h}} \sum_{i=1}^k w_i(\eta) d\eta_i \quad (7)$$

其中  $w_i(\eta) = \mu(W_i(\eta) \cap \Omega)$  是胞腔的  $\mu$ - 体积。

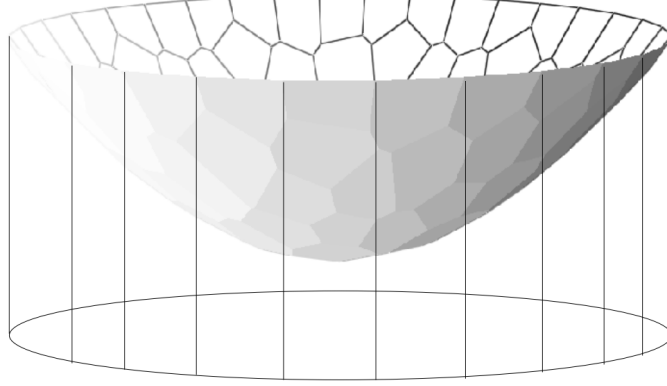


图 2: polyhedron 图

可以通过定义圆柱体  $\partial\Omega$ , 圆柱体被  $xy$  平面和凸多面体截断。能量项  $\int^{\mathbf{h}} \sum w_i(\eta) d\eta_i$  等于截断圆柱体的体积。

### 2.3 计算算法

**定义 2.1** (Alexandrov Potential). 凹面能量是

$$E(h_1, h_2, \dots, h_k) = \sum_{i=1}^k v_i h_i - \int_0^{\mathbf{h}} \sum_{j=1}^k w_j(\eta) d\eta_j \quad (8)$$

能量的 Hessian 是边和双边的长度比,

$$\frac{\partial w_i}{\partial h_j} = -\frac{[e_{ij}]}{[\bar{e}_{ij}]}$$

---

**Algorithm 1:** Bayesian Personalized Ranking Based Latent Feature Embedding

---

Model

---

**Input:** latent dimension  $K$ ,  $G$ , target predicate  $p$ **Output:**  $U^p$ ,  $V^p$ ,  $b^p$ 

- 1: Given target predicate  $p$  and entire knowledge graph  $G$ , construct its bipartite subgraph,  $G_p$
  - 2:  $m$  = number of subject entities in  $G_p$
  - 3:  $n$  = number of object entities in  $G_p$
  - 4: Generate a set of training samples  $D_p = \{(s_p, o_p^+, o_p^-)\}$  using uniform sampling technique
  - 5: Initialize  $U^p$  as size  $m \times K$  matrix with 0 mean and standard deviation 0.1
  - 6: Initialize  $V^p$  as size  $n \times K$  matrix with 0 mean and standard deviation 0.1
  - 7: Initialize  $b^p$  as size  $n \times 1$  column vector with 0 mean and standard deviation 0.1
  - 8: **for all**  $(s_p, o_p^+, o_p^-) \in D_p$  **do**
  - 9:   Update  $U_s^p$  based on Equation ??
  - 10:   Update  $V_{o^+}^p$  based on Equation ??
  - 11:   Update  $V_{o^-}^p$  based on Equation ??
  - 12:   Update  $b_{o^+}^p$  based on Equation ??
  - 13:   Update  $b_{o^-}^p$  based on Equation ??
  - 14: **end for**
  - 15: **return**  $U^p$ ,  $V^p$ ,  $b^p$
-

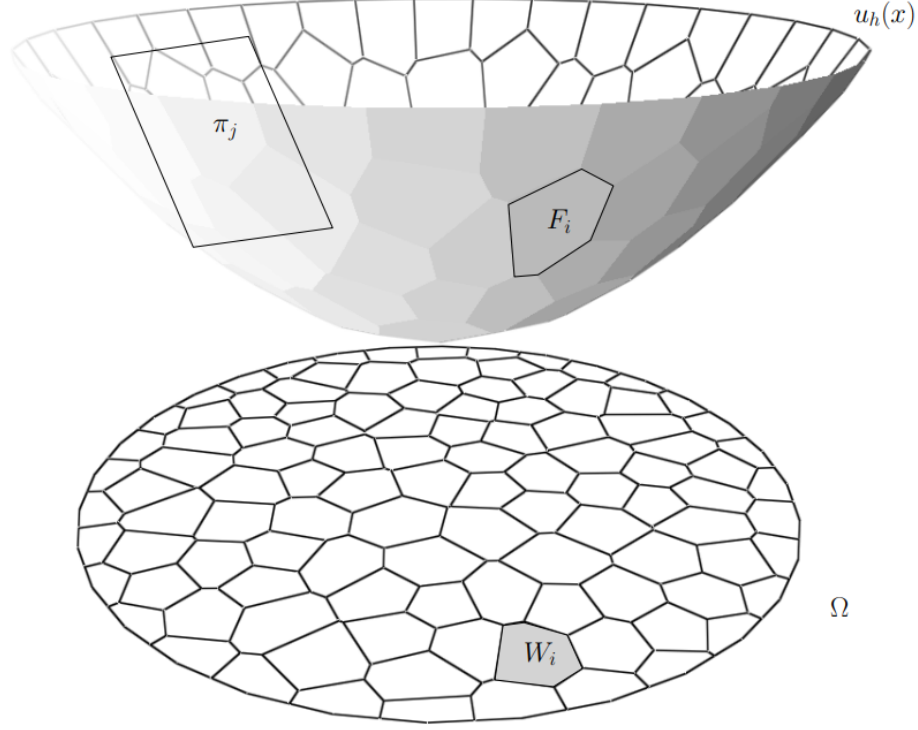


图 3: particale 图

---

**Algorithm 2:** Optimal Transport Map

---

**Input:** A set of distinct points  $P = p_1, p_2, \dots, p_k$ , and the weights  $\{A_1, A_2, \dots, A_k\}$ ; A convex domain  $\Omega$ ,  $\sum A_j = Vol(\Omega)$ ;

**Output:** The optimal transport map  $T : \Omega \rightarrow P$

- 1: Scale and translate  $\mathbf{P}$ , such that  $P \subset \Omega$ ;
- 2: Initialize  $\mathbf{h}^0 \leftarrow \frac{1}{2} \left( |p_1|^2, |p_2|^2, \dots, |p_k|^2 \right)^T$ ;
- 3: Compute the Brenier potential  $u(\mathbf{h}^k)$  (envelope of  $\pi'_i s$ ) and its Legendre dual  $u^*(\mathbf{h}^k)$  (convex hull of  $\pi_i'^* s$ );
- 4: Project the Brenier potential and Legendre dual to obtain weighted Delaunay trigulation  $\mathcal{T}(\mathbf{h}^k)$  and power diagram  $\mathcal{D}(\mathbf{h}^k)$ ;
- 5: Compute the gradient of the energy

$$\nabla E(\mathbf{h}) = (A_1 - w_1(\mathbf{h}), A_2 - w_2(\mathbf{h}), \dots, A_k - w_k(\mathbf{h}))^T$$

- 6: If  $\|E(\mathbf{h}^k)\|$  is less than  $\epsilon$ , then return  $T = \nabla u(\mathbf{h}^k)$ ;
- 7: Compute the Hessian matrix of the energy

$$\frac{\partial w_i(\mathbf{h})}{\partial h_j} = -\frac{|e_{ij}|}{|\bar{e}_{ij}|}, \quad \frac{\partial w_i}{\partial h_j} = -\sum \frac{\partial w_i(\mathbf{h})}{\partial h_j}$$

- 8: Solve linear system

$$\nabla E(\mathbf{h}) = Hess(\mathbf{h}^k) \mathbf{d}$$

- 9: Set the step length  $\lambda \leftarrow 1$ ;

- 10: construct the convex hull  $Conv(\mathbf{h}^k + \lambda \mathbf{d})$

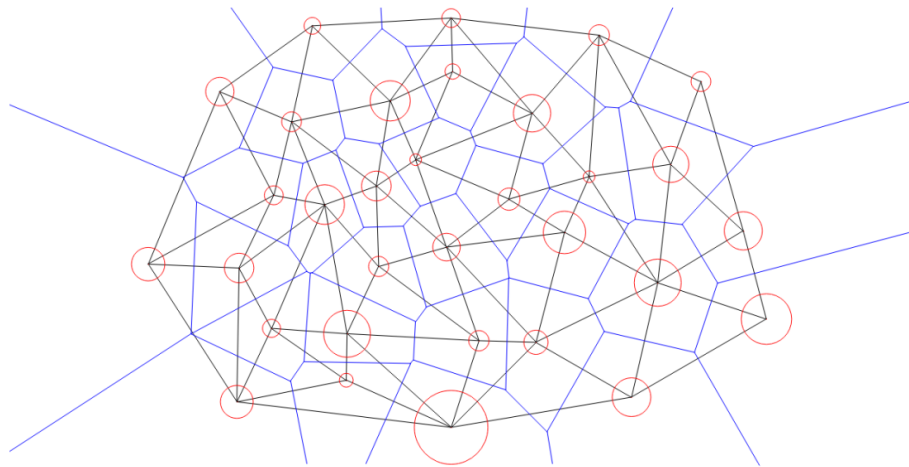


图 4: Alexandrov Potential 图

## 2.4 依赖关系

1. 'detri2', 一个网格生成库, 由 Si Hang 博士编写。
2. 'MeshLib', 基于半边数据结构的网格库。
3. 'freelut', OpenGL 实用工具工具包 (GLUT) 库的自由软件/开源替代品。

### 目录结构

- ot\_2d/include, 优化传输的头文件;
- ot\_2d/src, 优化传输的源文件。
- data, 一些模型。
- CMakeLists.txt, CMake 配置文件。
- resources, 需要一些资源。
- 3rdparty, MeshLib and freelut libraries.

在开始之前, 请仔细阅读自述文件, 然后一步一步地进行以下三个步骤:

1. 下载 CMake
2. 下载 C++ 框架的源代码
3. 为 Visual Studio 配置并生成项目
  - 打开命令窗口
  - cd Assignment\_6\_skeleton
  - mkdir build

- cd build
  - cmake ..
  - 在 build 目录中打开 CCGHomework.sln
4. 使用 Visual Studio 打开.sln 文件，并编写解决方案
5. 在你的 IDE 中完成代码。
- 你需要修改的文件：OT.cpp, CDomainOptimalTransport.cpp
  - 搜索注释 “在此处插入代码”
  - 修改函数
    - CDomainTransport:: newton(COMTMesh \* pInput, COMTMesh \*pOutput)
    - CBaseOT:: update direction(COMTMesh\* pMesh)
    - CBaseOT:: compute hessian matrix(COMTMesh& mesh,Eigen::SparseMatrix& hessian)
6. 运行可执行程序
- 动态链接库 Copy detri2.dll and detri2d.dll from 3rdparty/detri2/lib/windows to build/ot 2d/; Libraries and dlls for Linux and MAC are also available.
  - 命令 OT2d.exe girl.m 所有数据文件都在 data 文件夹中，所有纹理图像都在 textures 文件夹中。

---

**Algorithm:** ConvexHull( $P$ )

---

**Input:** A set  $P$  of points in the plane.

**Output:** A list  $\mathcal{L}$  containing the vertices of  $\mathcal{CH}(P)$  in clockwise order.

- 1 Sort the points by  $x$ -coordinate, resulting in a sequence  $p_1, \dots, p_n$ .
  - 2 Put the points  $p_1$  and  $p_2$  in a list  $\mathcal{L}_{\text{upper}}$ , with  $p_1$  as the first point.
  - 3 **for**  $i \leftarrow 3$  **to**  $n$  **do**
  - 4     Append  $p_i$  to  $\mathcal{L}_{\text{upper}}$ .
  - 5     **while**  $\mathcal{L}_{\text{upper}}$  contains more than 2 points **and** the last three points in  $\mathcal{L}_{\text{upper}}$  do not  
      make a right turn **do**
  - 6         Delete the middle of the last three points from  $\mathcal{L}_{\text{upper}}$ .
  - 7     **end**
  - 8 **end**
  - 9 Put the points  $p_n$  and  $p_{n-1}$  in a list  $\mathcal{L}_{\text{lower}}$ , with  $p_n$  as the first point.
  - 10 **for**  $i \leftarrow n - 2$  **downto** 1 **do**
  - 11     Append  $p_i$  to  $\mathcal{L}_{\text{lower}}$ .
  - 12     **while**  $\mathcal{L}_{\text{lower}}$  contains more than 2 points **and** the last three points in  $\mathcal{L}_{\text{lower}}$  do not  
      make a right turn **do**
  - 13         Delete the middle of the last three points from  $\mathcal{L}_{\text{lower}}$ .
  - 14     **end**
  - 15 **end**
  - 16 Remove the first and the last point from  $\mathcal{L}_{\text{lower}}$  to avoid duplication of the points  
      where the upper and lower hull meet.
  - 17 Append  $\mathcal{L}_{\text{lower}}$  to  $\mathcal{L}_{\text{upper}}$ , and call the resulting list  $\mathcal{L}$ .
  - 18 **return**  $\mathcal{L}$
-